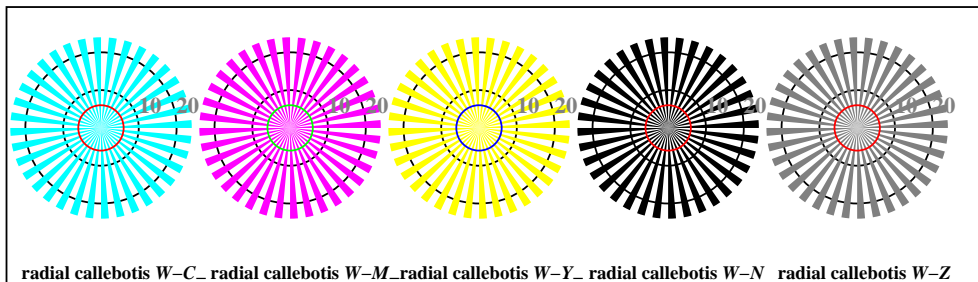
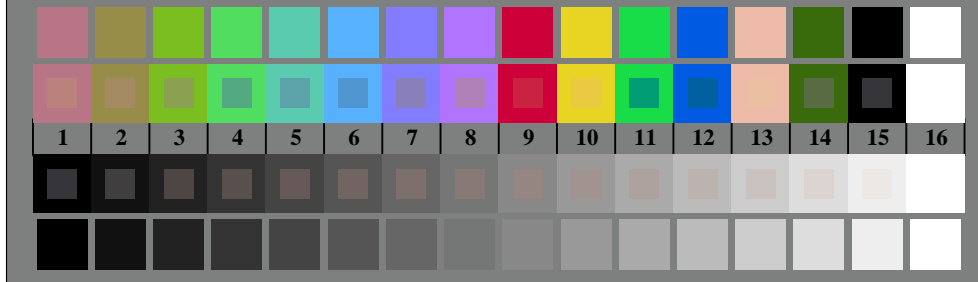


TF921-1, Fig. B4W-: 16 équadistants étapes  $W-C_-$ ;  $W-M_-$ ;  $W-Y_-$ ;  $W-N_-$ ;  $rgb/cmy0$  set( $rgb/cmyk$ )color

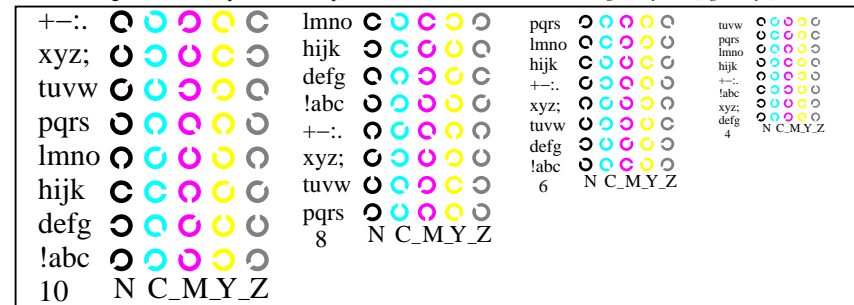


radial callobotis  $W-C_-$  radial callobotis  $W-M_-$  radial callobotis  $W-Y_-$  radial callobotis  $W-N_-$  radial callobotis  $W-Z_-$

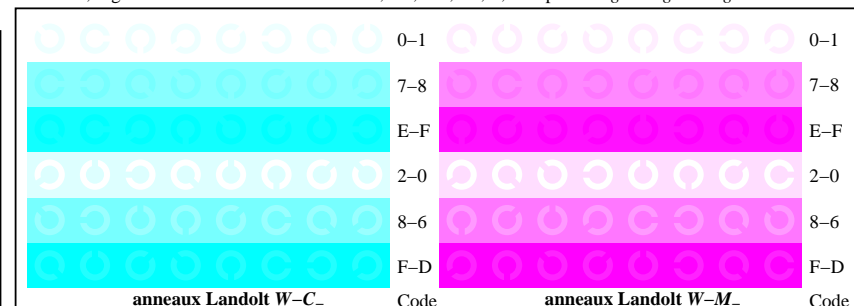
TF920-5, Fig. B2W-: radial callobotis  $W-C_-$ ;  $W-M_-$ ;  $W-Y_-$ ;  $W-N_-$ ;  $PS$  operator  $rgb \rightarrow rgb\_setrgbcolor$



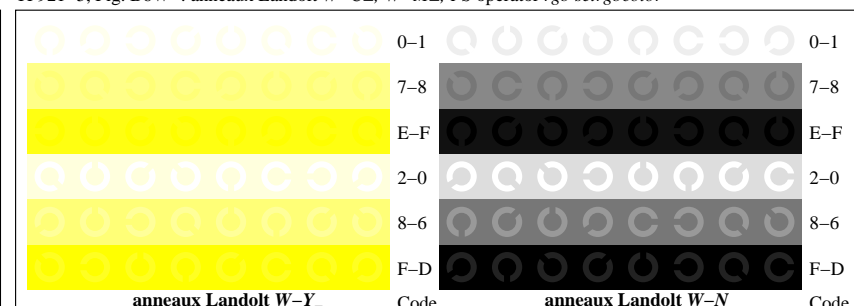
TF920-7, Fig. B3W-: 14 CIE test couleurs et 2 + 16 gris étapes (sf);  $rgb/cmy0$  set( $rgb/cmyk$ )color



TF921-3, Fig. B5W-: code et Landolt anneau  $N_-$ ;  $C_-$ ;  $M_-$ ;  $Y_-$ ;  $Z_-$ ;  $PS$  operator  $rgb \rightarrow rgb\_setrgbcolor$



TF921-5, Fig. B6W-: anneaux Landolt  $W-C_-$ ;  $W-M_-$ ;  $PS$  operator  $rgb$  setrgbcolor



TF921-7, Fig. B7W-: anneaux Landolt  $W-Y_-$ ;  $W-N_-$ ;  $PS$  operator  $rgb$  setrgbcolor